

# Soudage LSND simulation numérique et expérimentation

D. Lawrjaniec<sup>1</sup>, J. Haouas<sup>2</sup>, F. Scandella<sup>2</sup>, L. Jubin<sup>3</sup>

1 Institut de Soudure, Plateforme Mécanique et Corrosion 2 Institut de Soudure, Plateforme Assemblage 3 CETIM



**CIS-FIM** : Commission Interprofessionnelle Soudage de la Fédération des Industries Mécaniques



Ce qui nous lie nous rend plus forts

#### Partie 1 : Contexte de l'étude

Partie 2: Travaux

- 1) Etude bibliographique
  - principes de la méthode LSND
  - les différentes techniques LSND
- 2) Configuration choisie pour cette étude
- 3) Optimisation numérique

Partie 3 : Synthèse des résultats

Partie 4 : Suite du projet (en cours)







### Présentation de la cellule SNS de l'IS (Yutz)

- Créée au début des années 90 (Laboratoire Fatigue et Mécanique de la Rupture)
- Pas de domaine industriel spécifique (aéronautique → nucléaire)
  - Travaux sur faibles → fortes épaisseur
  - Mono-cordon → multi-passes
  - Multi procédés (arc, laser, hybride, FSW, brasage fort, ...)
  - Base de données matériaux IS

-----

#### Moyens disponibles sur le site IS Yutz

- numériques : PC multiprocesseurs, SYSWELD®, PAM-ASSEMBLY®
- **expérimentaux** : soudage, analyse métallurgique, mesures de cycles thermiques







# Partie 1 : Contexte de l'étude

Objectif du soudage LSND : réduire, voire annuler les déformations dues au <u>flambage</u> lors du soudage de structures élancées

LUAN G., LI G., LI C., DONG C., 'DC-LSND Friction Stir Welding', 7th International Friction Stir Welding Symposium, Awaji Island, Japan, 2008.

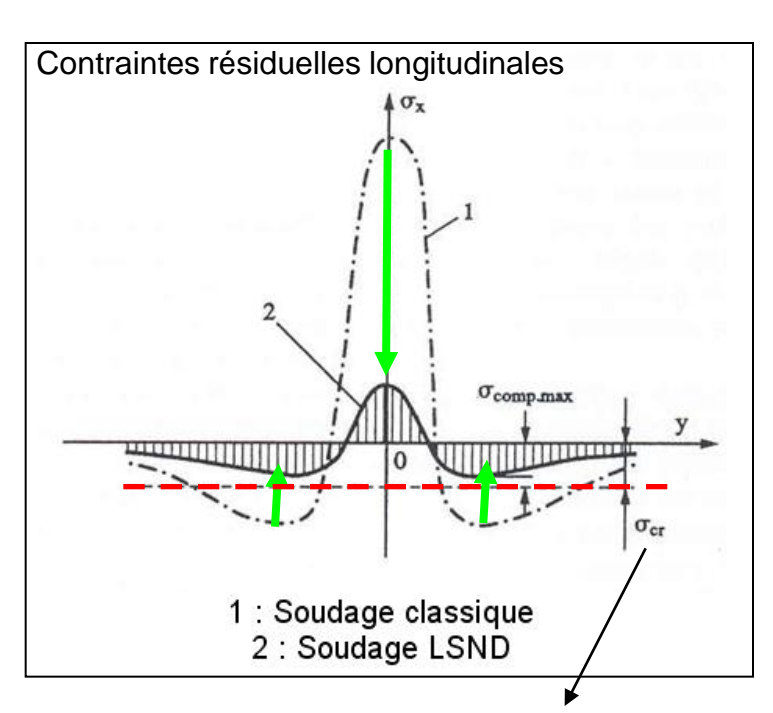


#### Les entreprises concernées :

- productivité des opérations de soudage impacte la compétitivité,
- réalisent des assemblages soudés de tôles fines (< 4 mm d'épaisseur),</li>
- confrontées à la problématique de la maîtrise des déformations (et contraintes) en soudage.

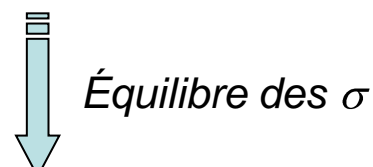






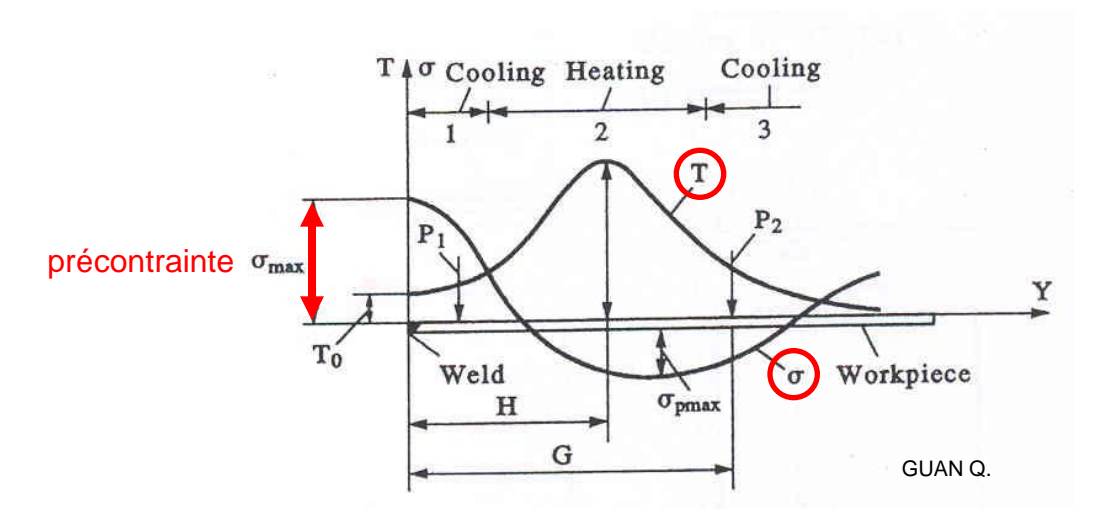
$$\sigma_{\rm cr} = -\Bigg[\frac{E\pi^2}{12~(1-\nu^2)}\Bigg] \Bigg[\frac{h}{b}\Bigg]^2 \Big[f(a,b,\nu,c,p)\Big]$$
 van der aa e.m.

Paramètres qui dépendent de la géométrie de la structure mais aussi de la répartition des contraintes résiduelles de soudage Principe : Réduction des contraintes résiduelles de soudage (traction) en zone soudée



diminution des contraintes résiduelles de compression qui passent sous la contrainte critique de flambage de la structure

Comment : En imposant un gradient de températures





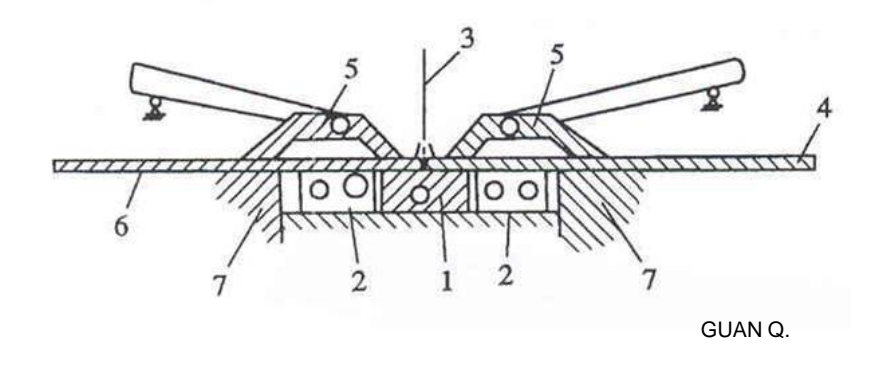




### **LSND Statique**

Moyens: - montage spécifique (bridage)

- système de chauffe et de refroidissement statique



**Avantages**: -  $\Delta T$  facilement contrôlable (reproductible)

- Très efficace (après optimisation)

- Applicable à tous les procédés et matériaux

**Inconvénients** : - Montage complexe

- Soudures rectilignes

Gradient de températures <u>global et</u> <u>transversal</u> à la direction de soudage

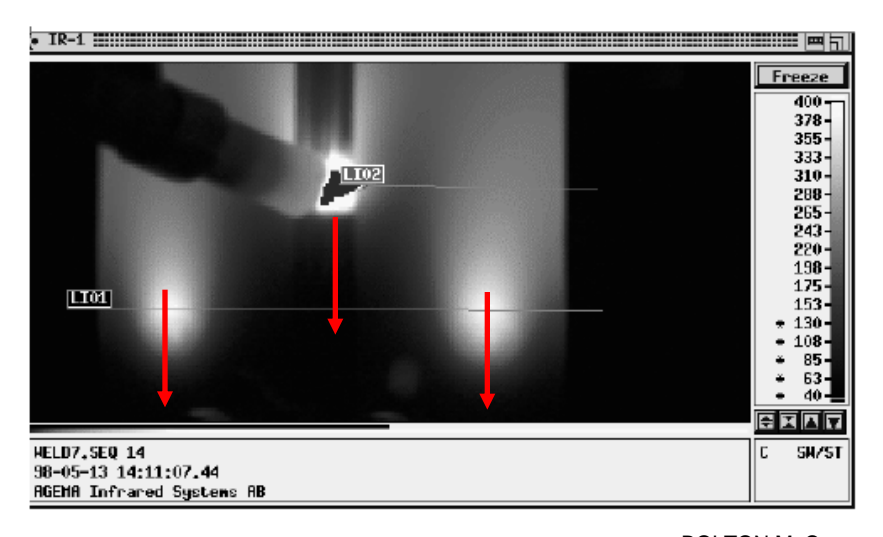






#### **LSND** Transitoire

Moyens: 2 sources additionnelles 'chaudes' en mouvement



BOLTON M. C.

Gradient de températures <u>local et</u> <u>transversal</u> à la direction de soudage

Avantages: - En cous de soudage

- Applicable à tous les procédés et matériaux

Inconvénients : - Nécessite des sources spécifiques

- Efficacité moyenne, voire faible

-  $\Delta T$  parfois difficilement contrôlable



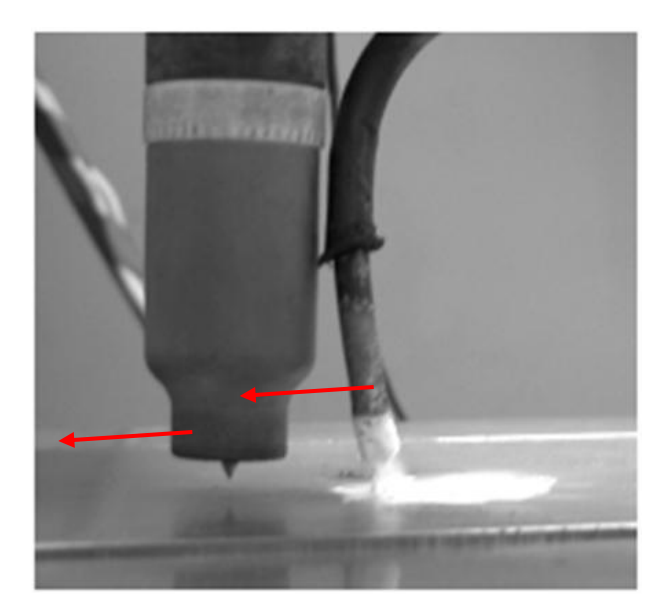






Dynamically Controlled Low Stress No Distortion

#### Moyens: 1 source 'froide' en mouvement



VAN DER AA E.M.

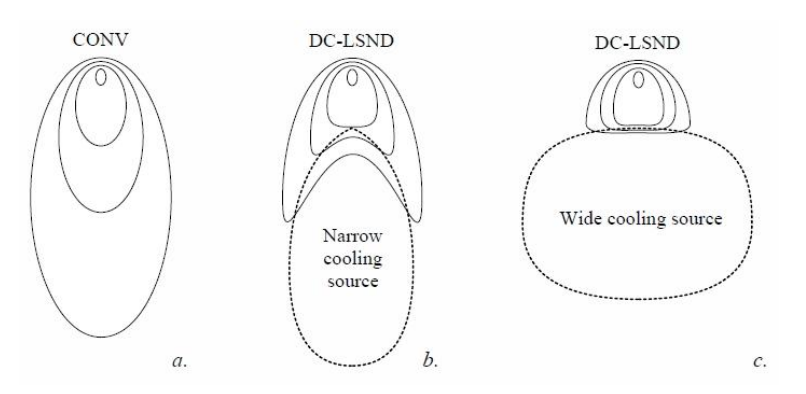
Gradient de températures <u>local et</u> <u>longitudinal</u> à la direction de soudage

Avantages: - En cous de soudage

- Très efficace (après optimisation)

**Inconvénients**: - Interactions torche / source 'froide'

- Refroidissement brutal (CMn)
- Applicable aux procédés générant des champs de températures suffisamment larges



VAN DER AA E.M.







### Partie 2: Travaux - configuration

Matériau: DC01

Structure: Plaques étude paramétrique (250x200x2 mm) / Plaques validation (470x200x2 mm)

Procédé de soudage : TIG automatisé sans apport

Configuration de joint : Bout à bout

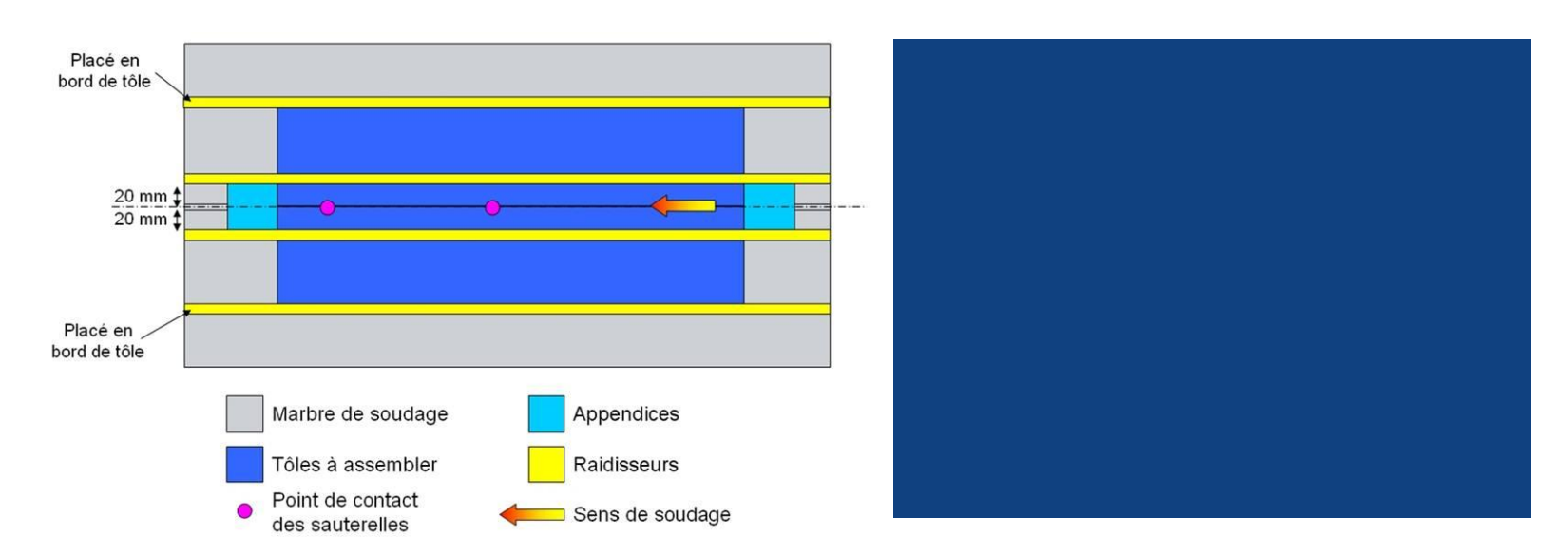
Méthode LSND: LSND transitoire avec 2 chalumeaux

Intensité : 98 Ampères Tension : 10,8 Volts

Vitesse d'avance : 15 cm/min

Gaz de protection : Arcal 1 (Argon pur) à 12 L/min

Electrode: Tungstène Lanthane, diamètre 2 mm, affutée à 60°

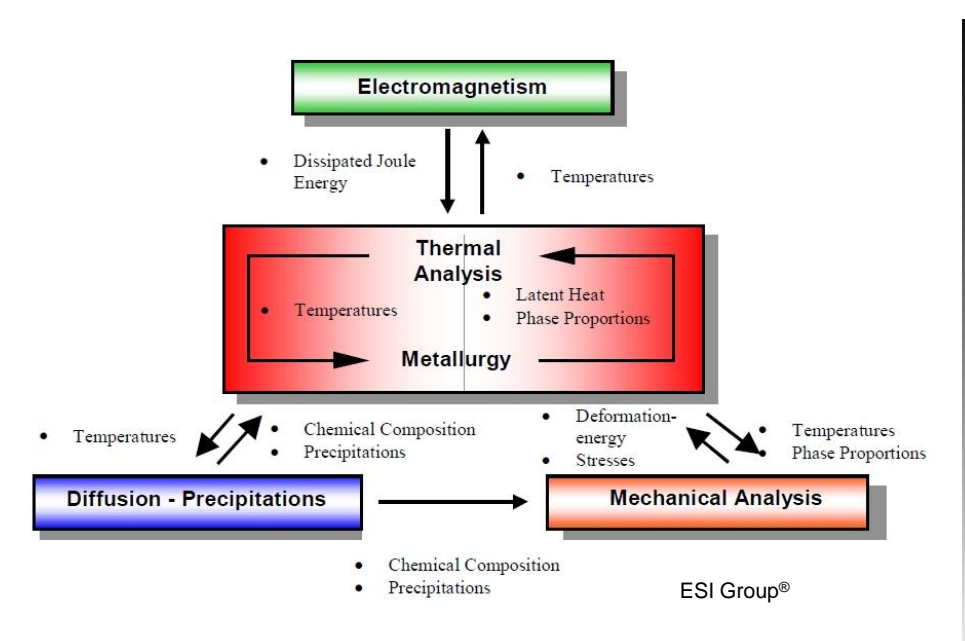


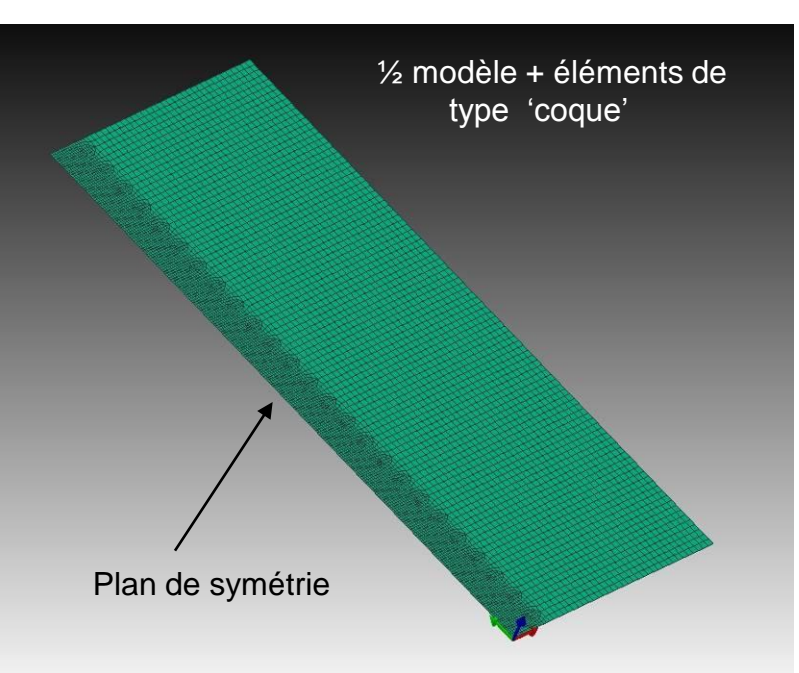
Paramètres du dispositifs à optimiser (puissance des chalumeaux, distance entre chalumeaux, etc...)











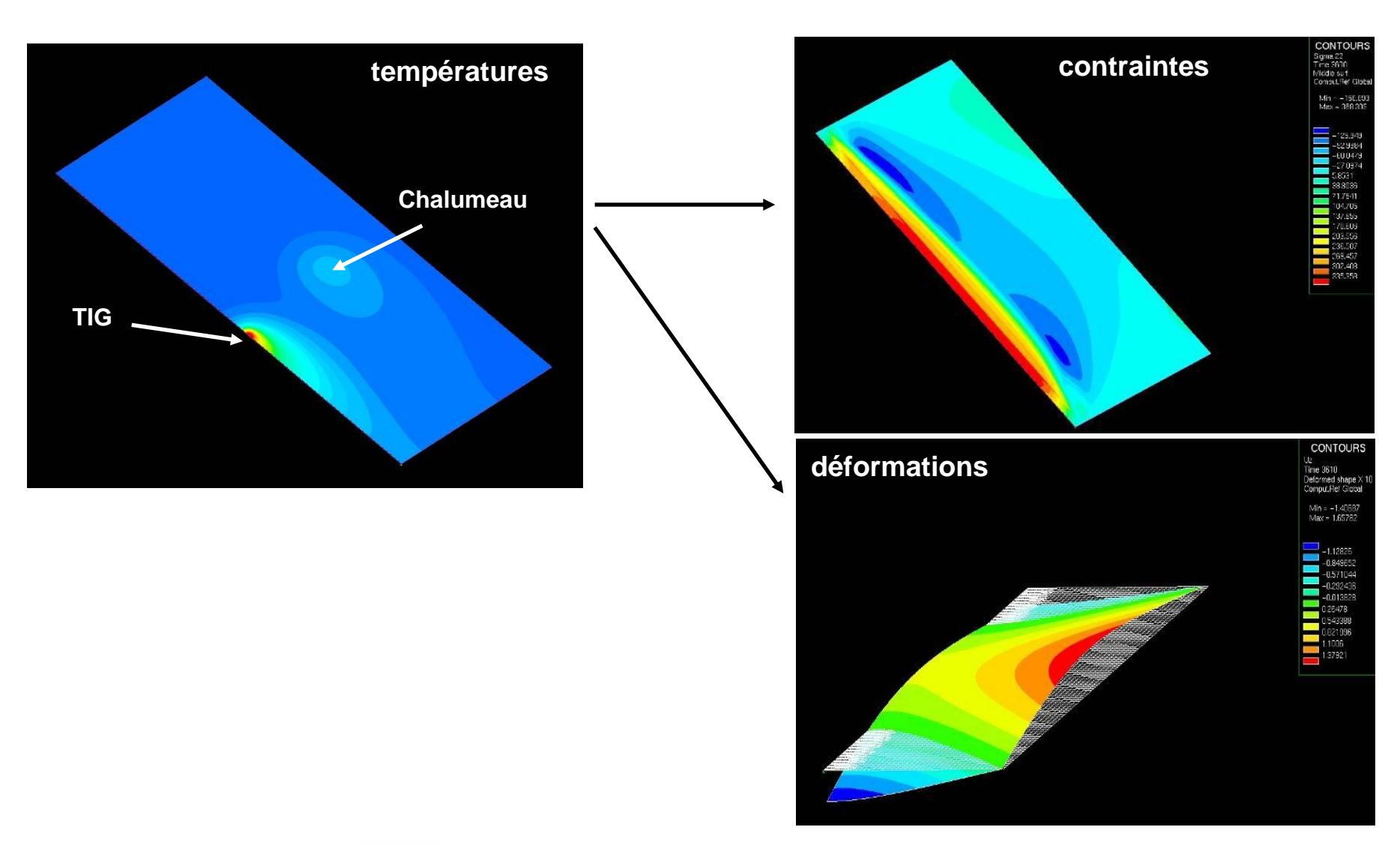
#### Simulation numérique des opérations de soudage (SYSWELD 2011®)

- Prise en compte des phénomènes thermiques, métallurgiques et mécaniques
- Calculs transitoires sur éléments finis de type 'coque'
- Sorties : températures, contraintes et déformations résiduelles





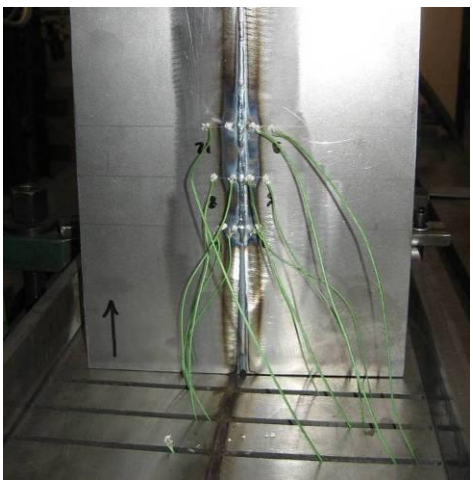










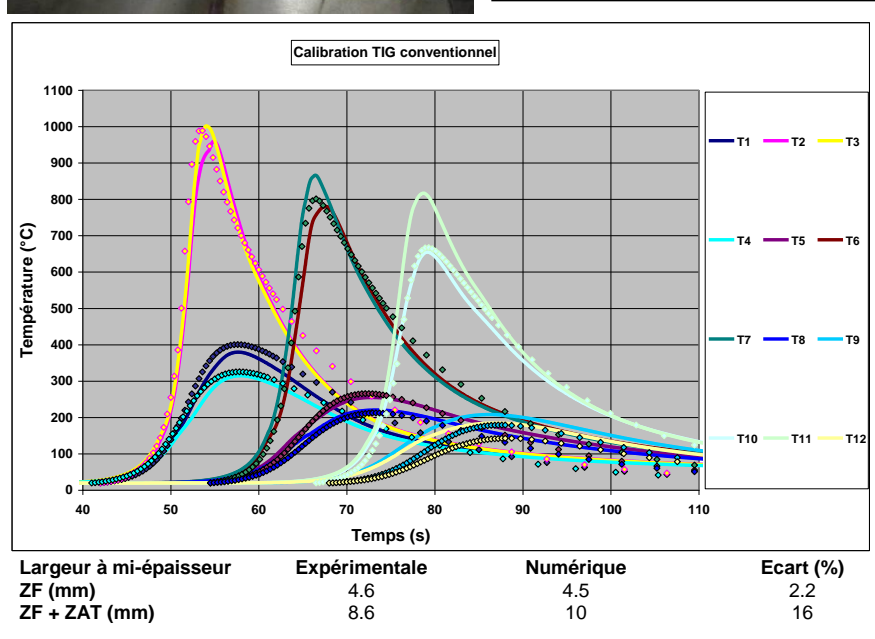


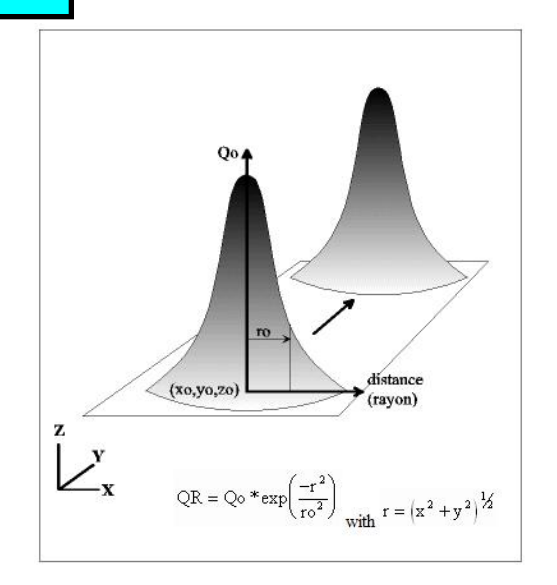
Calibration des sources de chaleur 'TIG' et 'Chalumeau'

+

**CL** thermiques (plaque support et bridage)

#### 1 source pour procédé conventionnel TIG



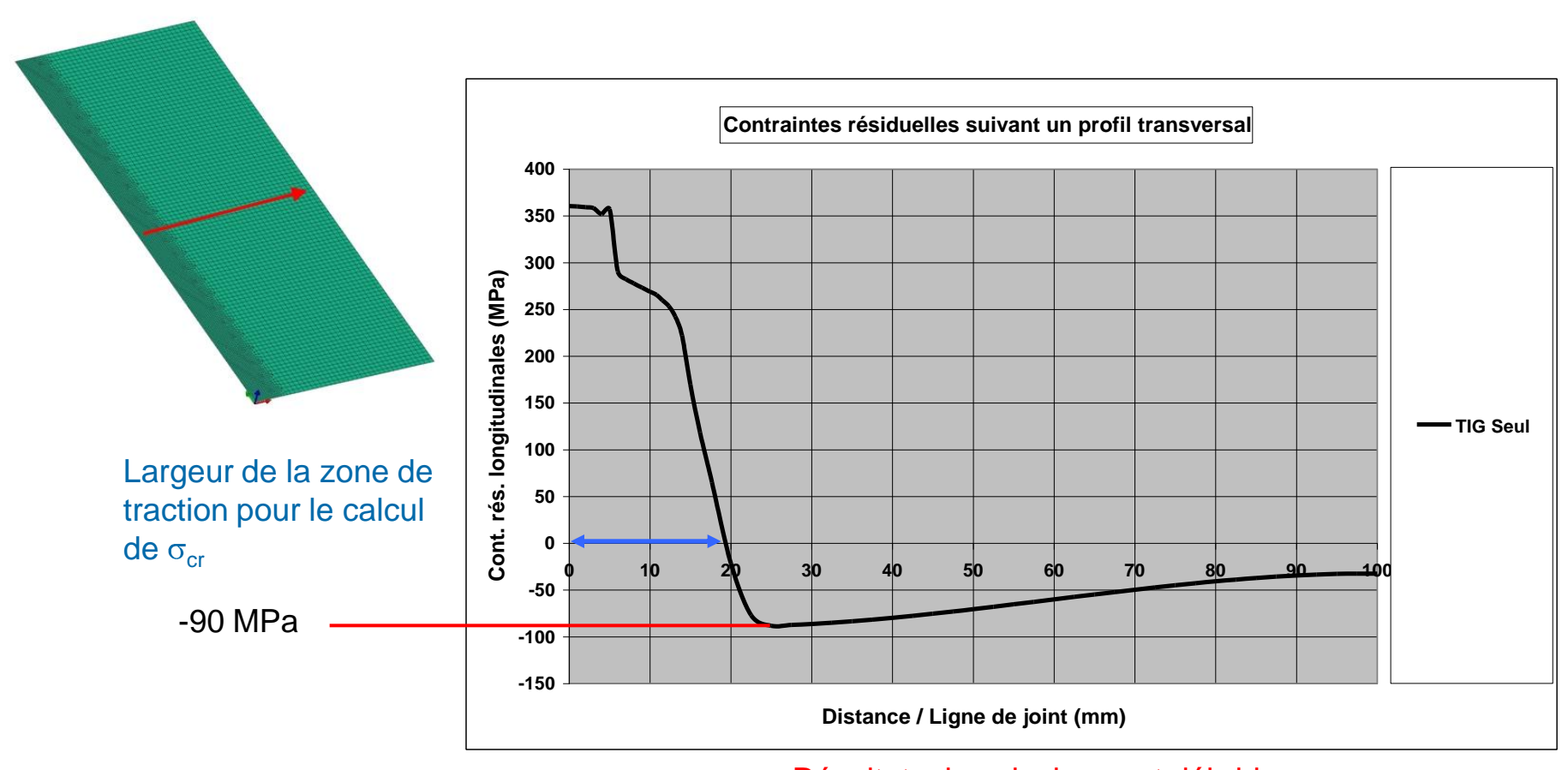


Rendement = 50 % (conforme NF EN 1011-2)









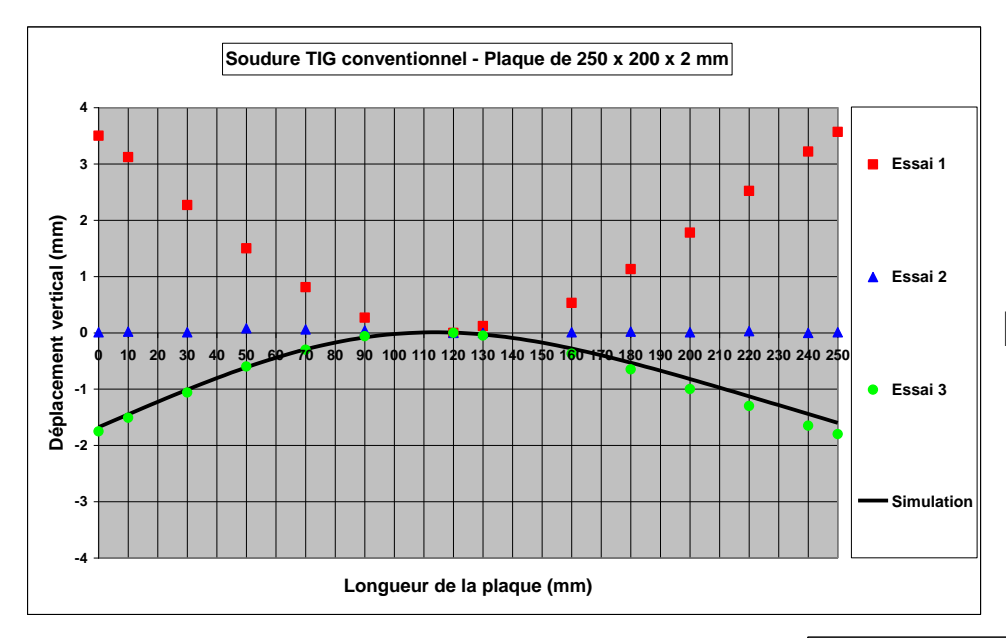
Résultats de calculs avant débridage

- Contrainte de compression maximale en soudage conventionnel, TIG = -90 MPa
- Contrainte critique de flambage (calculée) = -50 MPa





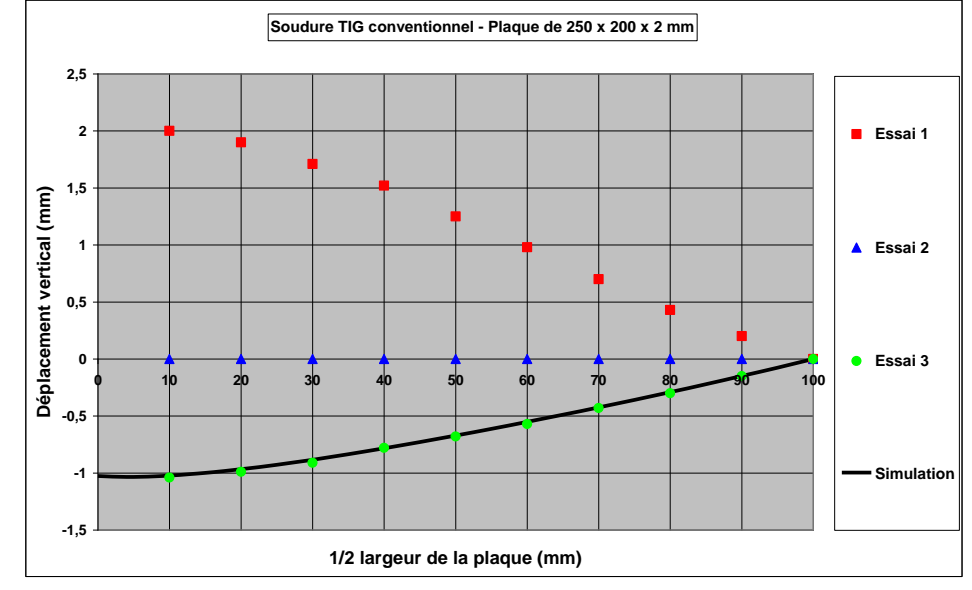




Validation des déformations globales en soudage conventionnel

Déformation longitudinale

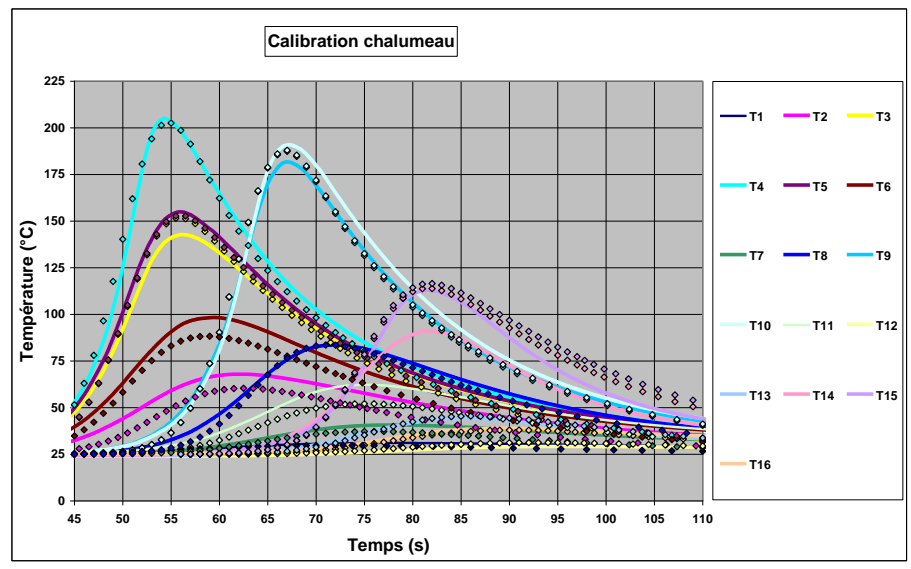
#### Déformation transversale

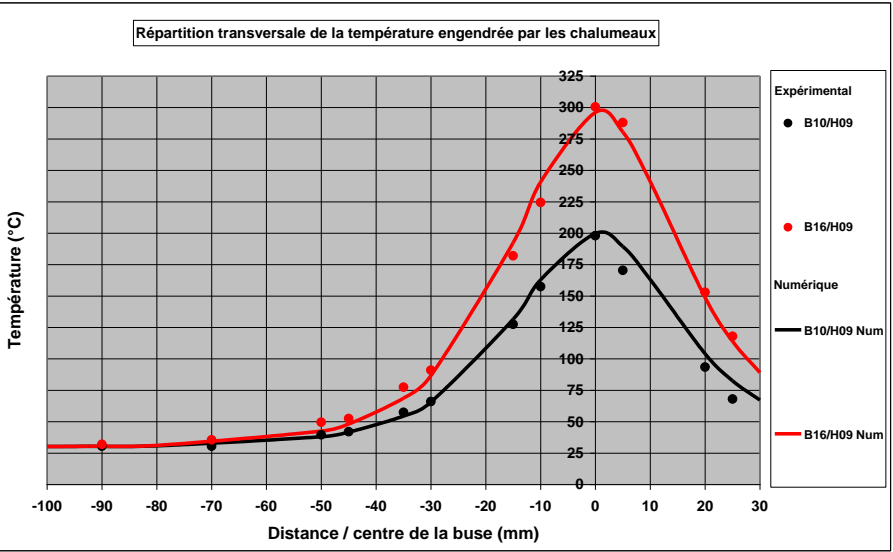




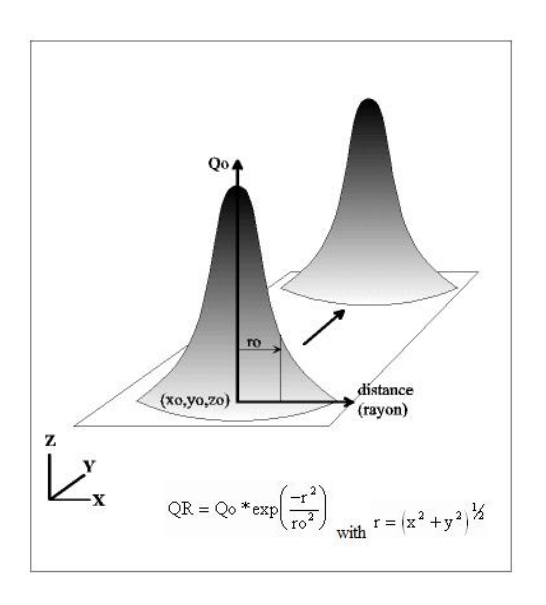








#### 5 sources pour les chalumeaux



#### Paramètres du chalumeau :

- débit
- diamètre de la buse
- distance buse / plaque

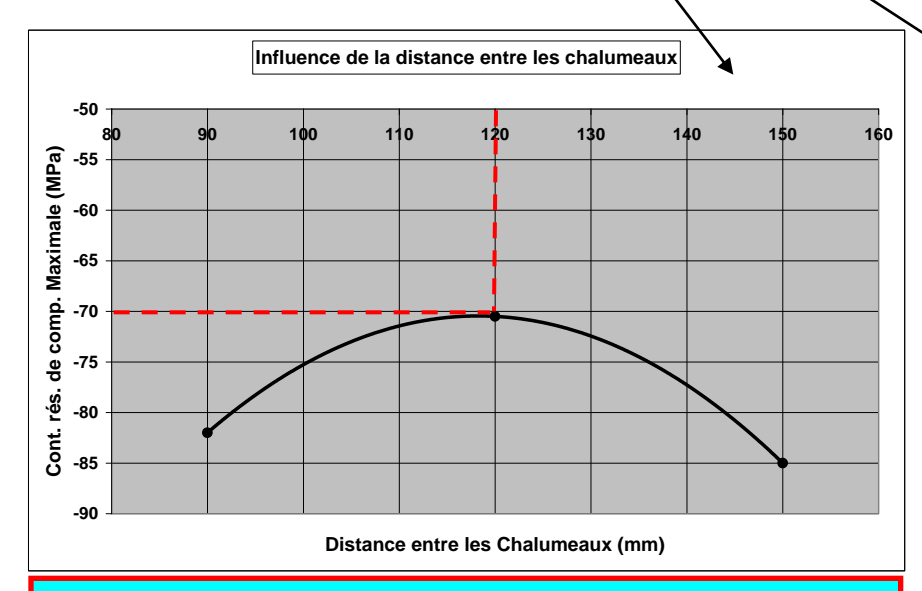




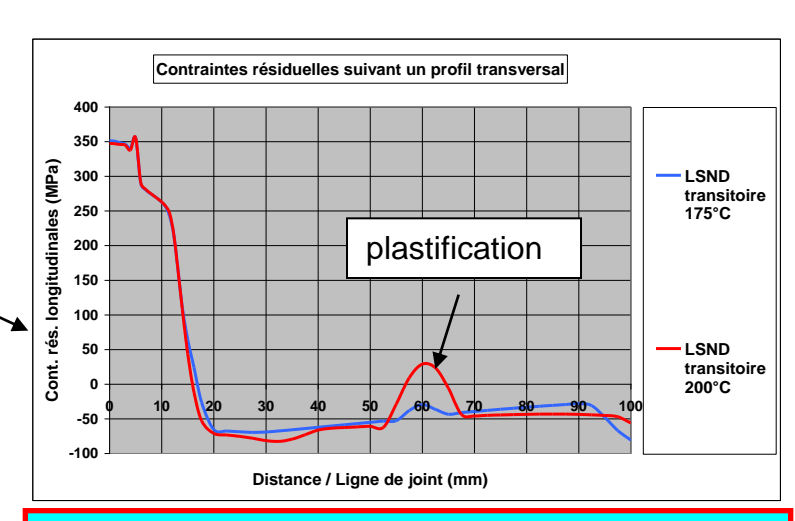


#### Etude paramétrique numérique = optimiser :

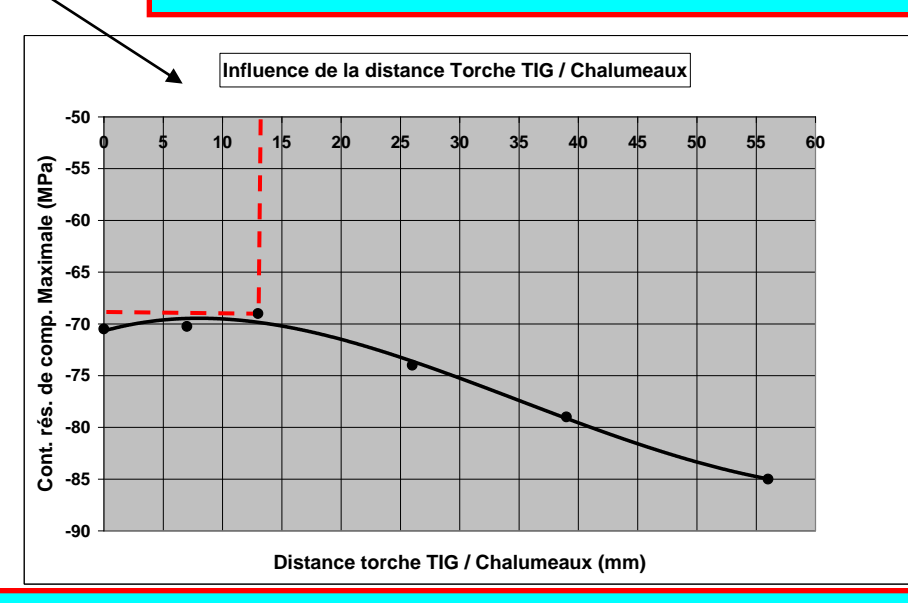
- Température maximale engendrée par les chalumeaux
- Distance torche TIG / chalumeaux
- Distance entre les chalumeaux



Distance entre chalumeaux = 120 mm



### Température maximale = 175 °C



Distance torche TIG / chalumeaux = 13 mm



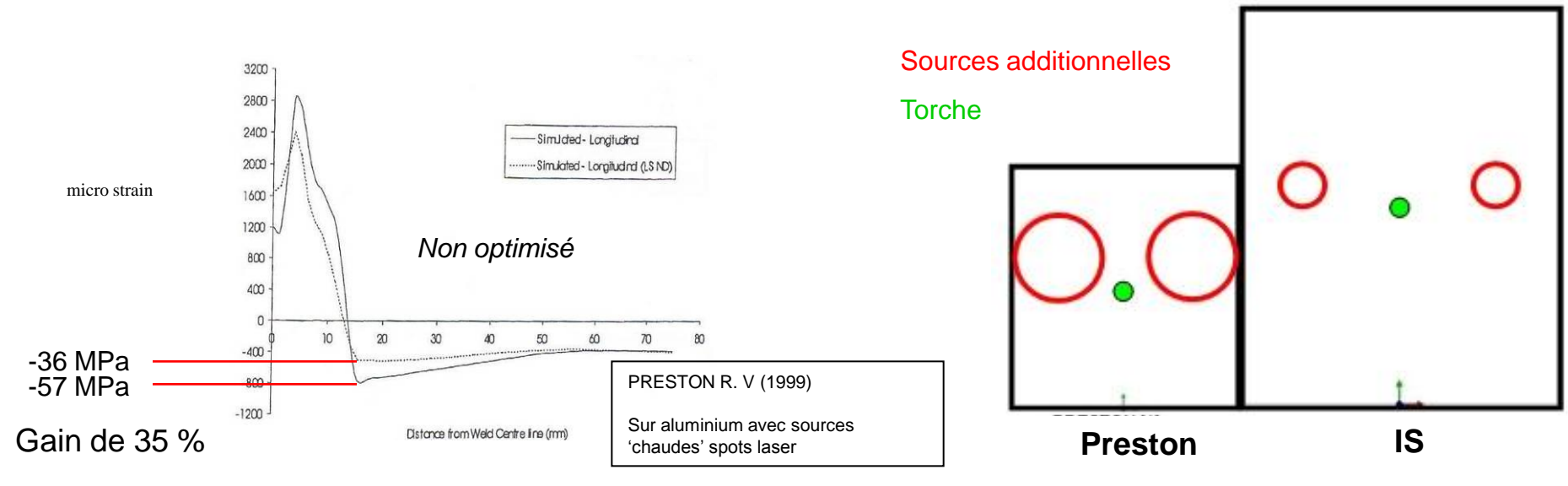




#### **Conclusions sur l'optimisation :**

- Contrainte de compression maximale en soudage TIG conventionnel = -90 MPa
- Contrainte de compression maximale en soudage LSND transitoire = -68 MPa (gain de 25 %)
- Contrainte critique de flambage estimée = -50 MPa

Le gain de 25 % est en accord avec d'autres résultats de soudage LSND transitoire avec sources additionnelles 'chaudes' tirés de la littérature



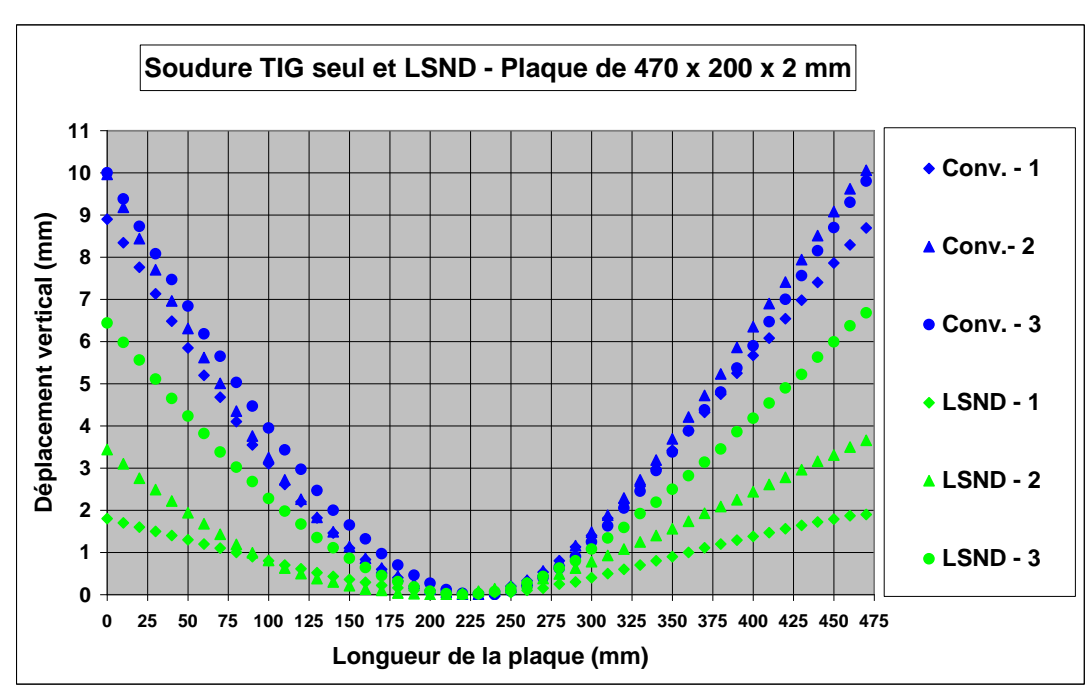






Comparaison des configurations

### Application du LSND statique optimisé sur plaques de 470x200x2 mm





Flèche maximale en TIG conventionnel = 10 mm

Flèche maximale en LSND transitoire = 6.5 mm

⇒ Gain = 35 % sur la déformation



#### Dispersions:

- contraintes internes ou pré-déformations avant soudage ?

(susceptibles de modifier  $\sigma_{cr}$ )

- température maximale engendrée par les chalumeaux +/- 35 °C ?



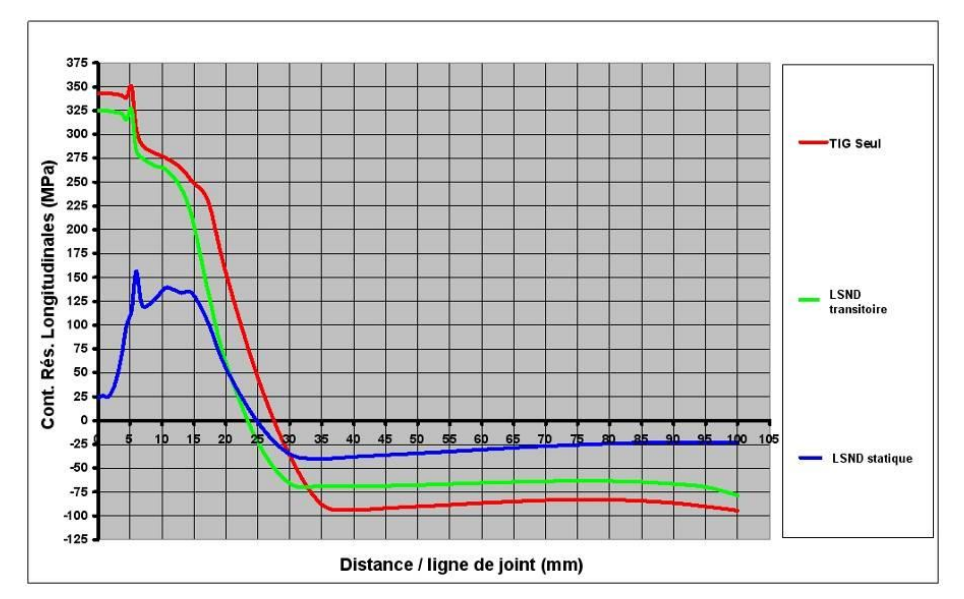




### Pourquoi un gain aussi faible par rapport au LSND statique?

#### Contrairement au soudage LSND statique :

- Précontrainte générée par les chalumeaux est répartie de part et d'autre au lieu d'être concentrée sur la trajectoire de soudage
- -La précontrainte générée est faible
- (80 MPa contre 150 MPa en LSND statique)

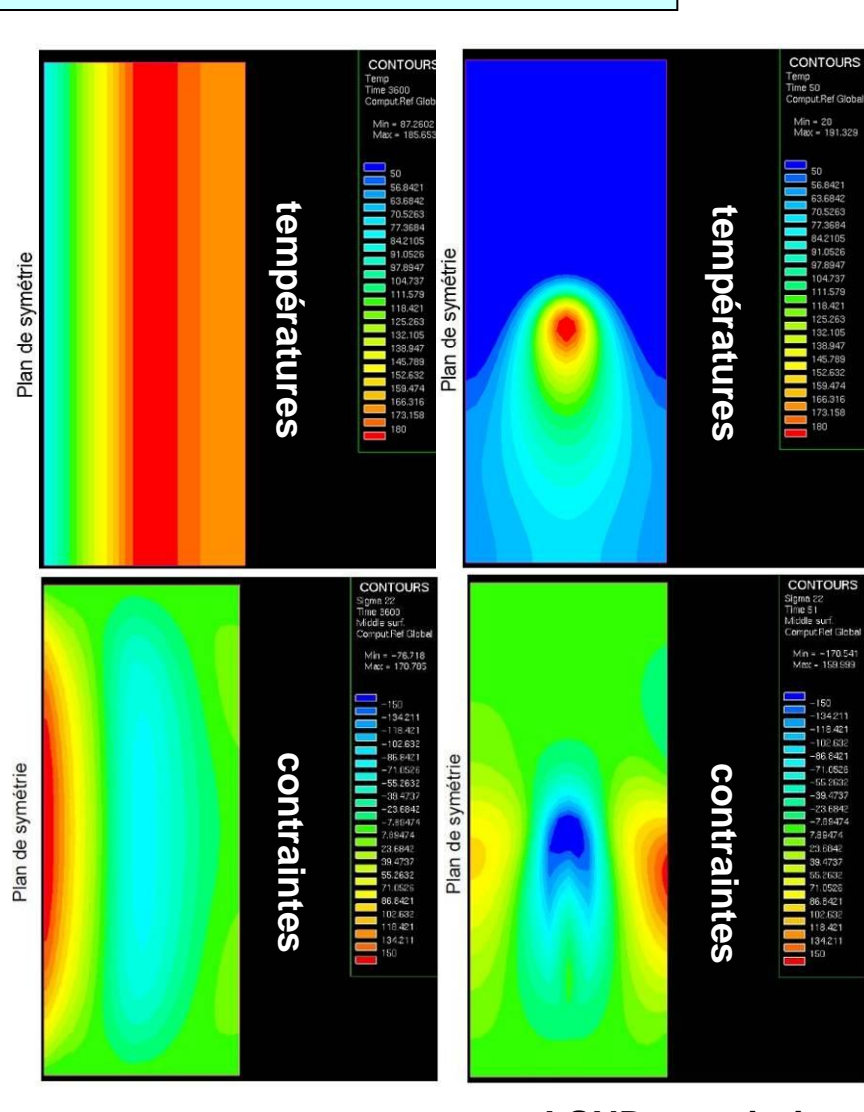


Résultats de calculs avant débridage





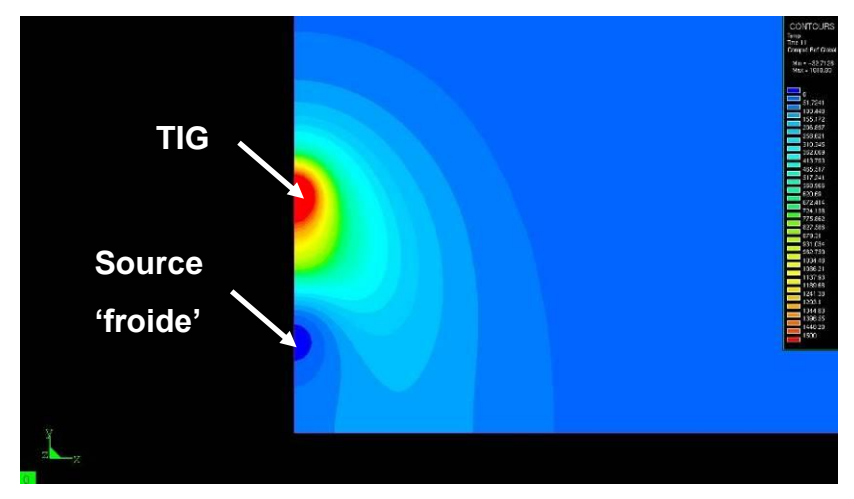




LSND statique

LSND transitoire

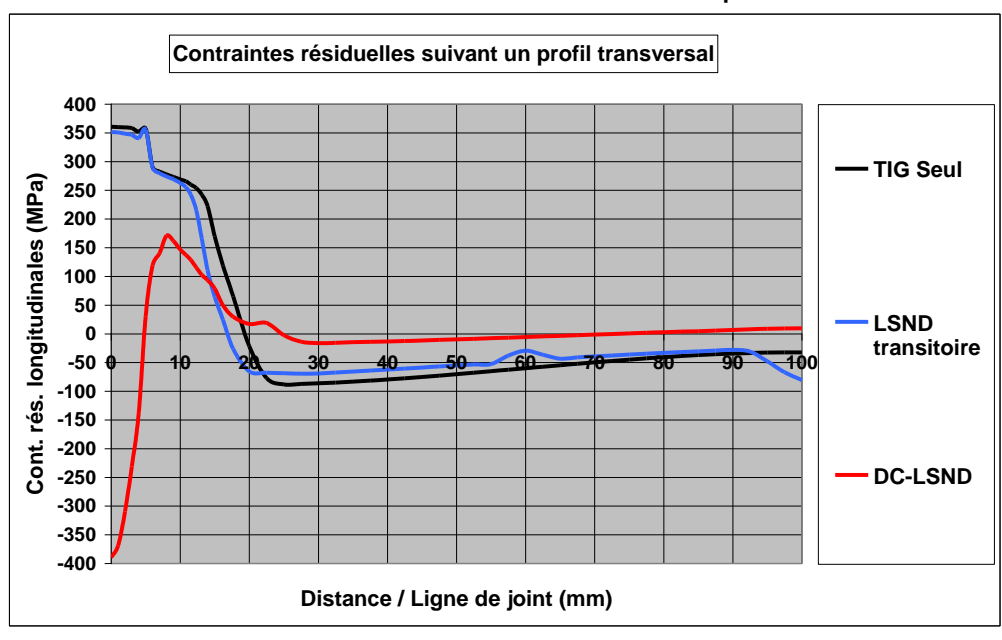
### Partie 4 : Suite du projet (en cours)



Températures simulées

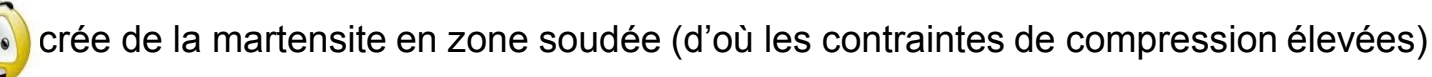
Avec le soudage DC-LSND :

# Nous avons simulé un soudage DC-LSND avec une source 'froide' non-calibrée et non-optimisée



Résultats de calculs avant débridage





⇒ augmenter la distance torche TIG / source 'froide'







# Merci de votre attention

# Avez vous des questions?

#### **Didier LAWRJANIEC**

Simulation Numérique du Soudage Plateforme Mécanique et Corrosion Institut de Soudure Yutz

Email: d.lawrjaniec@institutdesoudure.com







